



INŽENÝRSKÁ MECHANIKA 2005

NÁRODNÍ KONFERENCE

s mezinárodní účastí

Svratka, Česká republika, 9. - 12. května 2005

MONITORING OF THE CRACK GROWTH IN GROOVED CT-SAMPLE BY POTENTIAL METHOD

J. Balík¹, L. Korec²

Summary: *The calibration of the potential method DC/PD is calculated for the side-grooved CT-sample with point current inputs. The grooves are modelled by a line transition resistance producing a potential discontinuity. The groove-less field and groove resistance parameter are found using the conformal mapping in related perpendicular planes. The groove correction to the field is solved as a boundary value problem of the third kind. The check of calibration using independent measurements of creep crack extension (in steel P91 at 600°C) reveals the accuracy of about 0.1 mm. So, the continuous monitoring of the crack growth becomes available without any post fitting of the calibration curves.*

1. Úvod

Sledování velikosti a růstové rychlosti trhlin je důležitou a dosti choulostivou úlohou, objevující se jak v laboratorních podmínkách, tak u reálně provozovaných součástí. V prvním případě slouží získaná data k nalezení obecných podmínek šíření trhlin v závislosti na způsobu zatěžování, teplotě a typu prostředí, v druhém případě např. k odhadu zbytkové životnosti součásti.

Pro měření trhliny je široce použitelná a relativně dostupná elektrická metoda založená na faktu, že distribuce elektrického potenciálu při průchodu stejnosměrného proudu je závislá na konfiguraci vnitřních nevodivých ploch. Ve srovnání s optickým měřením nebo metodou detekující aktuální tuhost tělesa se potenciálová metoda (DC/PD) hodí (Gandossi et al., 2001) pro každou geometrii, má vysokou citlivost, výbornou reprodukovatelnost a dovoluje spojitě automatické měření. K rizikům však patří možnost podhodnocení délky trhliny v důsledku zkratu přes lomové plochy nebo problémy s indukčností a šumem při použití v elektricky vytápěných pecích.

Kalibrační relace mezi elektrickým potenciálem v určitém bodě tělesa a délkou trhliny může být určena řešením příslušné okrajové úlohy nebo empiricky. Druhý způsob vychází ze série měření na jednom nebo více kalibračních vzorcích, přičemž jsou buď detekovány prefabrikované trhliny o známých délkách, nebo se měří jejich růst během zatížení (opticky na fasetě) či po testu (na rozlomeném vzorku ze značek od přívažků, přetěžovacích cyklů). Kromě pracnosti a zdlouhavosti se jako problematické u těchto kalibrací jeví zejména detekce čela trhliny a reprodukovatelnost výsledků. Takovými metodami však mohou být nezávisle a

¹ RNDr. Jaroslav Balík, CSc, SVÚM a.s.; Areál VÚ Běchovice; 190 11 Praha 9; e-mail: balik@svum.cz

² Ing. Ladislav Korec, CSc, TECHLAB s.r.o.; Sokolovská 207; 190 00 Praha 9, e-mail: techlab@czn.cz

bezprostředně ověřeny jiné způsoby vyhodnocování. Pozoruhodné jsou empirické kalibrace, užívající různě konstruované zvětšené repliky vzorku. Modelem může být i elektrolytická lázeň v (průhledné) tvarované nádobě, kdy vnořením nevodivých přepážek lze pohodlně simulovat libovolnou konfiguraci trhlín.

Potenciál φ v elektricky homogenním tělese z isotropního materiálu o vodivosti σ je harmonickou funkcí, přičemž na povrchu Σ tělesa, kromě míst Σ_1 s proudovými přírady, je normálová složka proudové hustoty nulová. Kalibrace tedy vyplývá z řešení Laplaceovy rovnice s okrajovou podmínkou Neumannova typu

$$\Delta\varphi = 0, \quad \left. \frac{\partial\varphi}{\partial\vec{n}} \right|_{\Sigma-\Sigma_1} = 0, \quad (1)$$

k povrchu Σ se ovšem počítají i břehy trhlín. Úloha bývá standardně řešena numericky, např. metodou konečných prvků. Velmi přesné hodnoty potenciálu ve všech bodech, včetně okolí proudových singularit, však poskytuje analytické řešení – pokud je proveditelné. Všechny geometrické parametry mohou být v analytickém vyjádření měněny s libovolnou jemností a jejich vliv na potenciál je přehledný.

Kalibrace bývají definovány prostřednictvím normalizovaného potenciálu

$$v = \frac{\varphi}{\varphi_0} - 1, \quad (2)$$

kde φ_0 , φ jsou potenciály v daném bodě pro počáteční a aktuální délku trhlíny a za předpokladu konstantního celkového proudu I a vodivosti. Splnění posledních podmínek při reálném měření napětí V_0 , V je však problematické: zdroj konstantního proudu může vykazovat drift, vodivost se může měnit v důsledku dlouhodobých creepových nebo únavových expozic. Proto je lepší vztahovat měrné napětí V k vhodnému referenčnímu napětí V_r , měřenému ve stejném stavu (okamžiku). Podmínkou je, aby se z poměru V/V_r nevytratila citlivost na délku trhlíny, t.j. aby referenční napětí rostlo s trhlínou co nejpomaleji.

Vyhodnocení redukovaného napětí V/V_r s užitím kalibračních funkcí typu (2) by v každém stavu záviselo na čtyřech experimentálních hodnotách:

$$\frac{V}{V_r} = \frac{v+1}{v_r+1} \frac{V_0}{V_{r0}},$$

z nichž V_0 a V_{r0} jsou pevné a vnášely by do výsledků systematickou chybu. Je vhodnější vycházet z obecné faktorizace potenciálu do formy

$$\varphi(h, \vec{r}, I, \sigma) = q \cdot g(h, \vec{r}), \quad (3)$$

kde veličina $q \propto I/\sigma$ a funkce g –nazývejme ji geometrickým potenciálem- závisí jen na geometrických parametrech úlohy. Pak

$$\frac{V}{V_r} = \frac{g}{g_r}$$

a aktuální délka trhlíny je korelována jen s příslušným redukovaným potenciálem.

Cílem práce je analytické vyřešení potenciálového pole pro obdélníkový vzorek s jednostrannou trhlínou, t.j. typu CT. V dosavadní praxi se v takové situaci užívá analýza

vycházející z nekonečného natrženého pásku (Johnson 1965) nebo poněkud jednodušší model poloroviny s trhlinou na okraji. V obou případech je předpokladem homogenní distribuce proudové hustoty v nekonečnu. Předkládané řešení realisticky uvažuje bodové zdroje proudu na kontuře obdélníku. Je také modelován vliv drážky, která bývá prefabrikována v očekávaném směru šíření trhliny a jež mění charakter úlohy na trojrozměrný.

2a. Řešení pro obdélník s trhlinou

Situace trhliny a proudových přívodů v obdélníkovém vzorku o konstantní tloušťce je naznačena na obr. 1. Okrajová úloha (1) je dvourozměrná a lze ji řešit s užitím konformního zobrazení. Při něm se zachovává jak harmoničnost potenciálu, tak podmínka ortogonality ekvipotenciálních čar ke kontuře vzorku a břehům trhliny.

Nejprve se vnitřek obdélníku zobrazí standardním způsobem, t.j. s užitím Schwarz - Christoffelova integrálu, na polorovinu $\text{Im } w \geq 0$:

$$z = C \int_0^w \frac{d\omega}{\sqrt{(1-\omega^2)(1-k^2\omega^2)}} = C \cdot \Phi(w, k), \quad (4)$$

kde funkce Φ jednoduše souvisí s eliptickým integrálem 1. druhu o modulu k : $F(\phi, k) = \Phi(\sin \phi, k)$. Konstanty k a C se určí dosazením souřadnic vrcholů obdélníka:

$$a = C \int_0^1 \frac{dx}{\sqrt{(1-x^2)(1-k^2x^2)}} = CF\left(\frac{\pi}{2}, k\right) = CK(k) \quad (5)$$

$$b = \int_1^{1/k} \frac{dx}{\sqrt{(x^2-1)(1-k^2x^2)}} = \dots = CK(k')$$

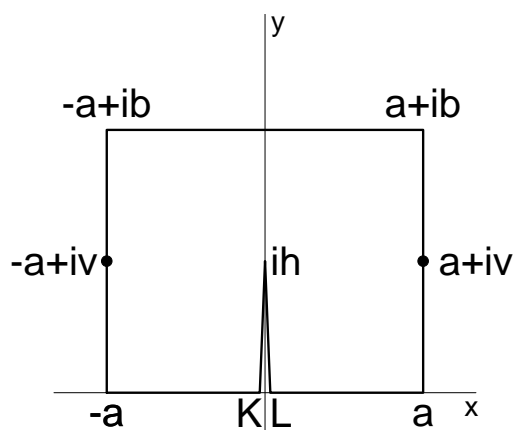
kde K je úplný eliptický integrál 1. druhu a $k' = \sqrt{1-k^2}$ je tzv. doplněk modulu k . Při známých k , C a s užitím Jacobiho eliptického sinu, definovaného jako inverzní funkce k Φ : $\text{sn}[\Phi(\sin \phi)] \equiv \sin \phi$, může být zobrazení (4) vyjádřeno regulární komplexní funkcí

$$w = \text{sn}\left(\frac{z}{C}\right)_k. \quad (6)$$

Čelo trhliny v bodě ih se zobrazí do bodu iH roviny w . S pomocí eliptické tangenty o doplňkovém modulu k' (Byrd & Friedman, 1954) a při redukci délky trhliny šířkou vzorku b s užitím (5) to lze vyjádřit

$$H = \text{tn}\left\{K(k') \frac{h}{b}\right\}_{k'}. \quad (7)$$

Přívody proudu v bodech $\pm a + iv$ přejdou v reálné body $\pm\beta$ roviny w , $1 < \beta < 1/k$:



Obr.1 CT-vzorek s přívody proudu

$$\beta(v) = \left[1 - k'^2 \operatorname{sn}^2 \left\{ K(k') \frac{v}{b} \right\}_{k'} \right]^{-\frac{1}{2}}. \quad (8)$$

Dalším krokem je převedení břehů trhliny z imaginární úsečky $0-iH$ v rovině w na reálnou osu roviny w_1 . Užijeme k tomu známé zobrazení

$$w_1 = \sqrt{w^2 + H^2}, \quad (9)$$

takže výsledné zobrazení $z \leftrightarrow w_1$, které převádí konturu vzorku včetně břehů trhliny na reálnou osu, se vyjadřuje

$$w_1 = \sqrt{\operatorname{sn}^2 \left(\frac{z}{C} \right)_k + H^2}. \quad (10)$$

Proudové přívody přecházejí do reálných bodů $\pm a_1 = \pm \sqrt{\beta^2 + H^2}$.

Okrajové podmínky na kontuře a trhlině včetně proudové bilance v okolí přívodů jsou v nekonečné rovině w_1 zřejmě splněny potenciálem od dvojice opačných bodových nábojů, umístěných v bodech $\pm a_1$:

$$\varphi(w_1) = 2q(\lg|w_1 + a_1| - \lg|w_1 - a_1|). \quad (11)$$

Faktor q , zavedený již v rov.(3), vyplývá z bilance proudového zatížení. Vodivost a gradient potenciálu určují proudovou hustotu $\vec{j} = -\sigma \vec{\nabla} \varphi$, takže celkový proud je

$$I = -\frac{1}{2} \sigma B \int_C \left(\frac{\partial \varphi}{\partial \vec{n}}, \vec{n} ds \right),$$

kde B je tloušťka vzorku, uzavřená křivka C obklopuje (kladný) proudový pól a \vec{n} je vektor vnější normály. Hodnoty křivkového integrálu ($= \int_C dF$, F je komplexní potenciál, $\varphi = \operatorname{Im} F$) v rovinách z a w_1 jsou si rovny a v integrandu se místo φ může brát jen potenciál od zdroje, ležícího uvnitř křivky. Jelikož $\int_C \left(\frac{\partial \lg r}{\partial \vec{n}}, \vec{n} ds \right) = 2\pi$, získáváme kalibrační relaci

$$q = \frac{I}{2\pi\sigma B}. \quad (12)$$

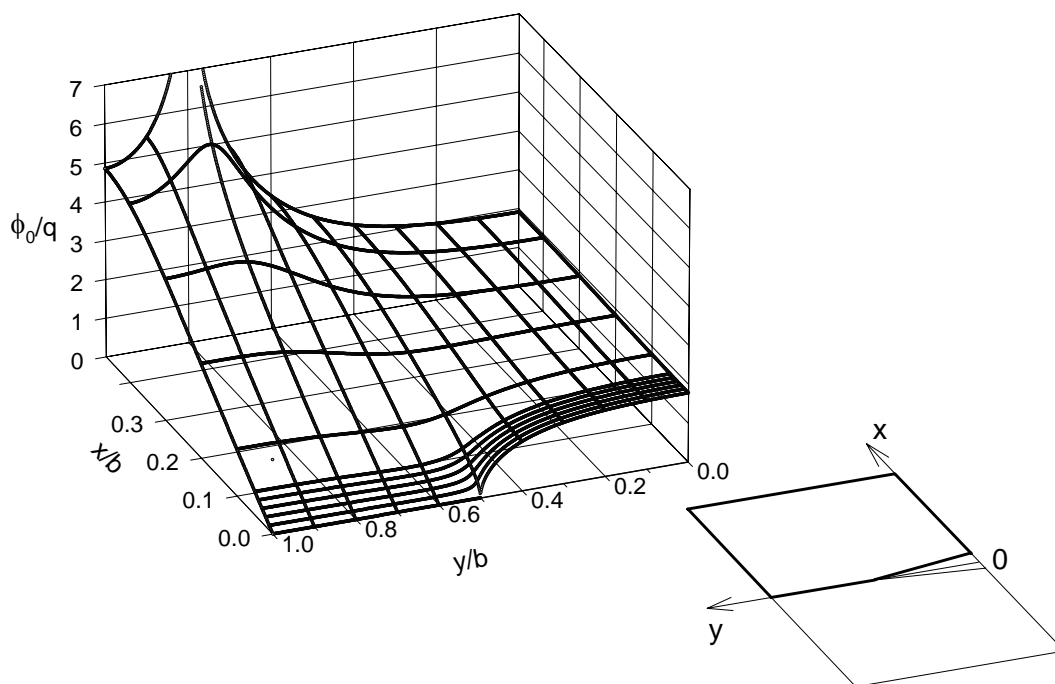
Na základě vzorce (11) a transformačního vztahu (10) je možno konstruovat geometrický potenciál $\varphi(x,y)/q$ ve výchozích souřadnicích vzorku.

2b. Vliv drážky na potenciálové pole

Funkce $\varphi = V_0(x,y)$ daná vztahy (10), (11) odpovídá potenciálu ve vzorku o konstantní tloušťce B , t.j. bez drážky podél nosného ligamentu $\langle ih; ib \rangle$, viz obr. 1. Příklad geometrického potenciálu $V_0(x,y)/q$ pro konkrétní délku trhliny a posice přívodů je na obr. 2, přičemž bylo zvoleno $k = \sin 8^\circ$, t.j. $a/b = 0.468412\dots$, srov. vztahy (5). Takový poměr stran

je, s ohledem na „celostupňové“ tabulky (Byrd & Friedman, 1954) eliptických integrálů, nejbližší námi používanému TDCB – vzorku s nominálními rozměry $a = 30$, $b = 65$ mm, viz odst. 3.

Elektrický vliv drážky budeme modelovat jistým přechodovým odporem podél její linie. Normálový proud j_x jednotkou délky drážky je pak úměrný rozdílu potenciálů $V_+ - V_b$ na (pravém) okraji a v úpatí drážky. Spojitost s proudem přitékajícím z homogenní části desky se



Obr. 2: Vzorek bez drážky, $a/b=0.468412\dots$, $h/b=0.5$, $v/b=0.8$

vyjadřuje podmínkou

$$j_x = -\frac{\sigma B}{\rho} (V^+ - V_b) = E_x \sigma B = -\sigma B \left. \frac{\partial V}{\partial x} \right|_+, \quad (13)$$

kde E_x je složka elektrické intenzity kolmá k linii drážky, a ρ [m] nazýváme *geometrickým odporem* drážky. Je účelné vyjádřit potenciál součtem

$$V = V_0 + \Omega, \quad (14)$$

kde potenciál V_0 ve vzorku o homogenní tloušťce B zahrnuje okrajové podmínky proudových přívodů a Ω je harmonická oprava, která k proudové bilanci nepřispívá:

$$\oint \frac{\partial \Omega}{\partial \vec{n}} \vec{n} ds = 0. \quad (15)$$

Uzavřená integrační cesta je tvořena konturou poloviny vzorku, trhlinou a zbývajícím nosným ligamentem s drážkou. Okrajová podmínka na kontuře a trhlíně je

$$\frac{\partial \Omega}{\partial \vec{n}} = 0, \quad (16)$$

zatímco pro (pravý) okraj drážky plyne z (13) a (14)

$$\left. \frac{\partial \Omega}{\partial x} \right|_+ - \frac{1}{\rho} \Omega_+ = - \left. \frac{\partial V_0}{\partial x} \right|_+ . \quad (16_2)$$

(Hodnoty V_b , Ω_b v úpatí drážky jsou zvoleny nulové). Z (15) a (16) okamžitě plyne střední hodnota opravy na na ligamentu:

$$\langle \Omega \rangle = \rho \left\langle \frac{\partial V_0}{\partial x} \right\rangle = \rho \frac{I}{\sigma B(b-h)} = \rho \frac{2\pi q}{b-h} . \quad (17)$$

Oprava by byla uniformní v celé polovině vzorku za předpokladu konstantního $\partial V_0 / \partial x$ na ligamentu. Z obr. 2 je zřejmé, že je to přibližně splněno, s výjimkou těsné blízkosti k čelu trhliny, takže vzorec (17) může být použit k rychlému odhadu vlivu drážky na potenciál.

Vyšší aproximace opravy hledáme s užitím Fourierovy metody (separace proměnných), která nabízí rozvoj

$$\Omega(x, y) = \sum_{m=0}^{\infty} c_m \operatorname{ch} \frac{\pi m(x-a)}{b} \cos \frac{\pi m y}{b} . \quad (18)$$

Jenotlivé členy jsou harmonické a splňují potřebné okrajové podmínky na stranách vzorku $0 \leq x \leq a$; $y = \{0; b\}$ a $x = a$; $0 \leq y \leq b$. Rovněž nulovost střední hodnoty $\partial \Omega / \partial x$ na úsečce s ligamentem a trhlinou je tak zajištěna. Koeficienty c_k vyplývají z okrajových podmínek (16_{1,2}) na trhlině a ligamentu s drážkou a určíme je minimalisací výrazu

$$S = w \int_0^h \left(\frac{\partial \Omega}{\partial x} \right)^2 dy + \int_h^b \left(\frac{\partial \Omega}{\partial x} - \frac{\Omega}{\rho} + \frac{\partial V_0}{\partial x} \right)^2 dy = \text{minimum} , \quad (19)$$

kam se dosazují rozvoje plynoucí z (18) pro $x=0$. Podmínky $\partial S / \partial c_k = 0$, $k = 0, 1, 2, \dots$ dávají nekonečnou soustavu rovnic

$$\sum_{m=0}^{\infty} (w B_{k,m}^H + B_{k,m}^L) c_m = \frac{\rho}{b} g_k , \quad k = 0, 1, 2, \dots \quad (20)$$

kde

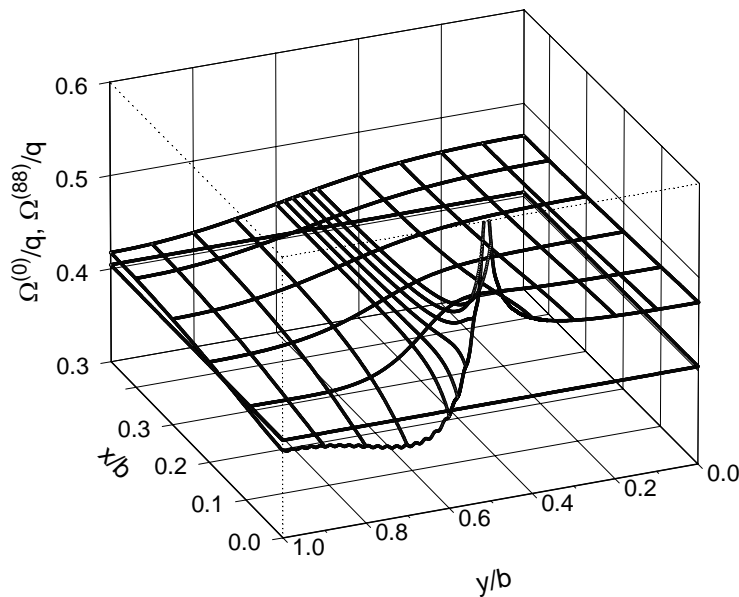
$$B_{k,m}^H = \left(\pi \frac{\rho}{b} \right)^2 k m \cdot \operatorname{sh} \frac{\pi k a}{b} \operatorname{sh} \frac{\pi m a}{b} \times \frac{1}{b} \int_0^h \cos \frac{\pi k y}{a} \cos \frac{\pi m y}{a} dy ,$$

$$B_{k,m}^L = \left(\operatorname{ch} \frac{\pi k a}{b} + \pi k \frac{\rho}{b} \operatorname{sh} \frac{\pi k a}{b} \right) \left(\operatorname{ch} \frac{\pi m a}{b} + \pi m \frac{\rho}{b} \operatorname{sh} \frac{\pi m a}{b} \right) \times \frac{1}{b} \int_h^b \cos \frac{\pi k y}{a} \cos \frac{\pi m y}{a} dy ,$$

$$g_k = q \left(\operatorname{ch} \frac{\pi k a}{b} + \frac{\rho}{b} \pi k \operatorname{sh} \frac{\pi k a}{b} \right) J_k ,$$

a je zavedeno značení $J_k \equiv \int_h^b \frac{\partial(V_0/q)}{\partial x} \cos \frac{\pi ky}{b} dy$. Pro numerický výpočet těchto integrálů se gradient potenciálu V_0 na nosném ligamentu vyjádří parametricky, na základě (10) a (11), prostřednictvím souřadnice iv_1 roviny w_1 .

Různé aproximace drážkové opravy se získají volbou konečné horní meze \hat{k} rozvoje (18). Rovnoměrnost těchto aproximací je ovlivněna váhou w . Budeme ji modelovat tak, aby oba integrandy v (19) byly stejného řádu v ρ/b a aby sčítance byly zastoupeny v poměru (zhruba) nezávislém na h . S uvážením zřejmé singularity $\Omega \propto 1/\Delta y$ v okolí čela trhliny, která je



Obr. 3: Konstantní drážková oprava podle (17) a „přesná“ oprava řádu $\hat{k}=88$, váha (21). Geometrie vzorku, trhliny a přívodů viz obr. 2.

buzena analogickou singularitou funkce $\partial V_0/\partial x$, lze odhadnout: integrand prvního členu $\sim 1/h^2$, integrand druhého členu $\sim 1/(b-h)^2$. Pro váhu se tak dostává formule

$$w = k_{cal} \frac{h}{b-h} \left(\frac{b}{\rho} \right)^2. \quad (21)$$

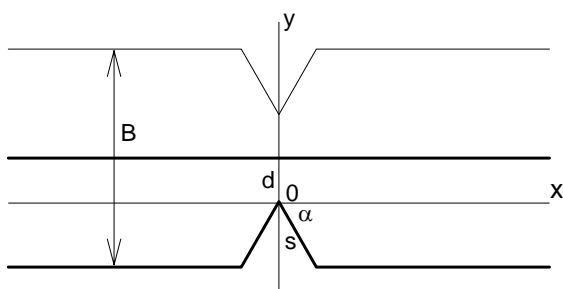
Numerické testy do nejvyššího proveditelného řádu $\hat{k} = 88$, a pro $\rho/b \in (0.001; 0.5)$ vedou ke kalibrační konstantě $k_{cal} \cong 0.1316$. S váhou (21) pak lze získat přijatelné výsledky v celém oboru délky trhliny, t.j. $0 < h < b$.

Nejnižší, nultá aproximace c_0 se shoduje se vzorcem (17). Z obr. 3 je zřejmé, že tato absolutní oprava, jejíž velkou předností je jednoduché vyjádření, představuje přijatelné přiblížení na a - straně vzorku, „odvrácené“ od trhliny. Na zbývajících konturách, jak ukazují výpočty, se aproximace prakticky stabilizují již od řádu $\hat{k} = 3$ a další zpřesňování se týká jen okolí čela trhliny.

2c. Přechodový odpor drážky

Geometrický odpor drážky, definovaný v předchozím odstavci, může být určen řešením problému protékání proudu nekonečnou deskou o základní tloušťce B , která je podél určité přímky symetricky zeslabena trojúhelníkovými zářezy. Geometrická situace a označení je na obr. 4, proudová hustota v nekonečnu se předpokládá homogenní. Potenciálová úloha bude řešena, podobně jako v odst. 2a, metodou konformního zobrazení. Výchozí komplexní rovina z je však nyní kolmá k hlavní rovině vzorku, přičemž směr drážky podél nosného ligamentu představuje její normálu.

Zobrazení polodesky na horní polorovinu (w), při volbě přiřazení základních bodů podle



Obr. 4: Příčný řez drážkami v rovinné desce

Tab. 1: Přiřazení základních bodů

rovina z	rovina w
0	0
$s(\pm \cos \alpha - i \sin \alpha)$	$\pm \varepsilon$
$\pm \infty$	± 1

tab. 1, je dáno Christoffel –Schwarzovým integrálem

$$z = k \int_0^w \frac{\omega^{2\beta}}{(\omega^2 - \varepsilon^2)^\beta (\omega^2 - 1)} d\omega = k\Psi(\varepsilon, w), \quad (22)$$

kde $\beta \equiv \alpha/\pi$. Hodnoty k , ε vyplývají z tabulkového přiřazení bodů. Zobrazovací podmínka

bodu $w = \varepsilon$ dává vztah $s = k \int_0^\varepsilon \frac{u^{2\beta}}{(\omega^2 - \varepsilon^2)^\beta (u^2 - 1)} du$, jenž může být vyjádřen přes

hypergeometrickou funkci F (Gradštejn & Ryzik, 1971) jako

$$-\frac{s}{k} = \frac{\Gamma(\frac{3}{2} + \beta)\Gamma(2 - \beta)}{\sqrt{\pi}(\beta + \frac{1}{2})(1 - \beta)} \varepsilon F\left(1, \beta + \frac{1}{2}, \frac{3}{2}, \varepsilon^2\right), \quad (23)$$

Γ je gama-funkce. Při zobrazení reálného okolí bodu $w=1$ se imaginární část funkce $k\Psi$ skokem zvýší o $i(s \sin \alpha + d)$ – přechod ze spodní kontury na střední rovinu desky. To dává

$$-\frac{s}{k} \left(\sin \alpha + \frac{d}{s} \right) = \frac{\pi}{2(1 - \varepsilon^2)^\beta}. \quad (24)$$

Rovnice (23, 24) určují oba parametry zobrazení (22) přičemž ε je dáno jen tvarovými parametry, zatímco k je měřítkem skutečné velikosti. V naší situaci platí $B = 10$ mm, $d = 2$ mm, $\alpha = 60^\circ$ a numerické řešení soustavy (23, 24) vede k hodnotám

$$\varepsilon = 0.913\ 701\dots, \quad k = -1.746\ 397\dots \text{ mm}. \quad (25)$$

Elektrický potenciál v rovině w se sestrojí, podobně jako v odst. 2a, s pomocí bodových nábojů umístěných do bodů ± 1 , srov. vztah (11):

$$V = 2q(\lg|w + 1| - \lg|w - 1|). \quad (26)$$

Hodnota kalibrační konstanty se získá modifikací definice (12)

$$q = \frac{|j_x|}{4\pi\sigma}, \quad (27)$$

přičemž dodatečný faktor $\frac{1}{2}$ vyjadřuje, že j_x je lineární proudová hustota (na jednotku délky kolmou k rovině z) oběma polodeskami. Rovnicemi (22) a (26) je řešeno rozložení potenciálu ve skutečné rovině (polo)desky z.

Geometrický odpor drážky, jak plyne z jeho definice (13), lze získat extrapolací asymptoticky homogenního pole ke hraně drážky. Provedeme to pro spodní konturu polodesky $x > s \cos\alpha$, viz obr. 4. V rovině w jsou příslušné body reálné a leží v intervalu $\varepsilon < u < 1$, zobrazení (22) má tvar

$$x = s \cos\alpha - k \int_{\varepsilon}^u \frac{u^{2\beta}}{(u^2 - \varepsilon^2)^\beta (1 - u^2)} du. \quad (28)$$

Rozdělením integrálu na část konečnou a část divergující při $u \rightarrow 1$ se získá formule

$$x = s \cos\alpha + \frac{k}{2(1 - \varepsilon^2)^\beta} \lg \frac{1 + \varepsilon}{1 - \varepsilon} - kJ_0(u) - \frac{k}{2(1 - \varepsilon^2)^\beta} \lg \frac{1 + u}{1 - u} \quad (29)$$

kde integrál

$$J_0(u) = \int_{\varepsilon}^u \left[\frac{u'^{2\beta}}{(u'^2 - \varepsilon^2)^\beta} - \frac{1}{(1 - \varepsilon^2)^\beta} \right] \frac{du'}{1 - u'^2}$$

zůstává konečný i pro $u=1$. Poslední člen v (29) je úměrný potenciálu (26), takže pro spodní konturu lze psát

$$\frac{V}{2q} = -\frac{2\pi}{B} s \cos\alpha + \lg \frac{1 + \varepsilon}{1 - \varepsilon} - 2(1 - \varepsilon^2)^\beta J_0(u) + \frac{2\pi x}{B}, \quad (30)$$

kde byl ještě užit vzorec $(1 - \varepsilon^2)^\beta / k = -\pi/B$, plynoucí z (24) a z geometrie. Dosazení $J_0(1)$ do (30) dává asymptotický potenciál, jenž je lineární funkcí x. Porovnáním absolutního členu s definicí (13) se získá formule pro geometrický odpor drážky:

$$\rho = \frac{B}{2\pi} \lg \frac{1 + \varepsilon}{1 - \varepsilon} - s \cos\alpha - \frac{B}{\pi} (1 - \varepsilon^2)^\beta J_0(1). \quad (31)$$

Pro numerické výpočty $J_0(1)$ užíváme rozvoj této veličiny do hypergeometrických funkcí

$$J_0(\varepsilon, 1) = \frac{1}{2\varepsilon(1 - \varepsilon^2)^\beta} \sum_{m=1}^{\infty} (-1)^m \binom{\beta}{m} [(1 - \varepsilon^2)^m - 1] B(m, 1 - \beta) F\left(\frac{1}{2}, 1 - \beta, 1 - \beta + m, \frac{\varepsilon^2 - 1}{\varepsilon^2}\right),$$

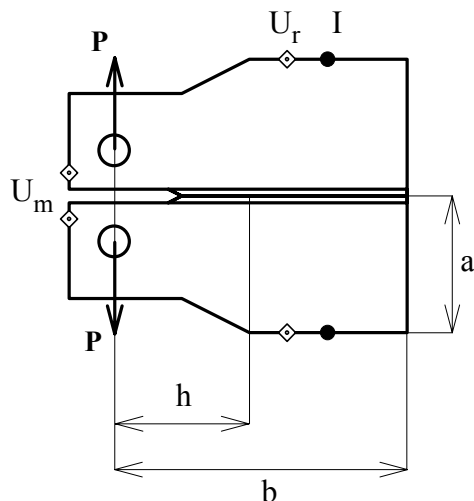
kde $B(p, q)$ jsou Eulerovy beta funkce. Pro aktuální specifikaci (25) se získá:

$$\rho = 2.091\ 270 \dots \text{mm}, \quad \rho/b = 3.217 \dots \cdot 10^{-2}. \quad (32)$$

3. Experimentální provedení metody

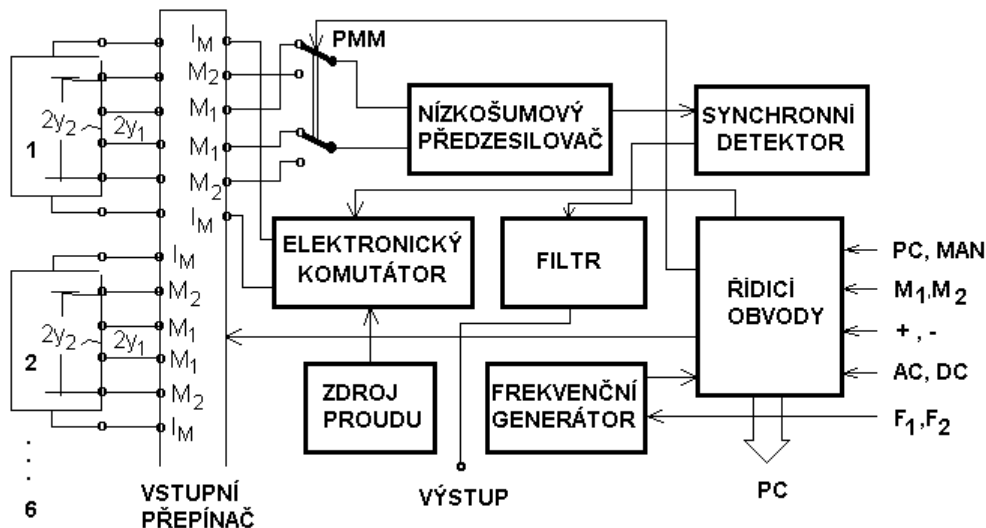
Ověřování teoretického modelu bylo prováděno na vzorku typu TDCB, vyrobeném s počáteční trhlinou. Obrys vzorku a lokalizace pólů jsou znázorněny na obr. 5, základní tloušťka vzorku je 10 mm. Drážky o profilu podle obr. 4 mají parametry $\alpha=60^\circ$, $d=2$ mm.

Vzorek z oceli P91 byl zatížen silou $P=9000$ N v naznačených směrech $\pm x$ (srov. obr. 1), což znamená počáteční faktor intenzity napětí $41.3 \text{ MNm}^{-3/2}$. Po začátku zatížení se od čela trhliny rozšiřuje oblast creepové deformace a při dosažení lokálních kritických podmínek (tažnosti) dochází k růstu trhliny. Konstantní zatížení bylo aplikováno po dobu 452.3 h. Konečná konfigurace trhliny byla zviditelněna po křehkém dolomení podchlazeného vzorku. Během testu byly sledovány nejen potenciály, ale i lineární dilatace ve směru vnější síly, která je měřítkem deformace vzorku, v daném případě převážně creepové. Současné vzorkování všech těchto veličin dovolilo sofistikované zařízení TECHLAB SRT-6k.



Obr. 5: Vzorek TDCB s proudovými a napěťovými póly. $a=30$, $b=65$ mm.

Při experimentálním ověřování analytického řešení je třeba měřit elektrické napětí s citlivostí řádově 10^{-8} V, a to za podmínek, kdy potenciálové pole je generováno stejnosměrným proudem. DC metoda, která takový charakter pole vytváří, je však citlivá na různé zdroje rušení (EMI - elektromagnetické rušení, teplotní vlivy a pod.), které právě při



Obr. 6.: Blokové schéma aparatury TECHLAB SRT-6k.

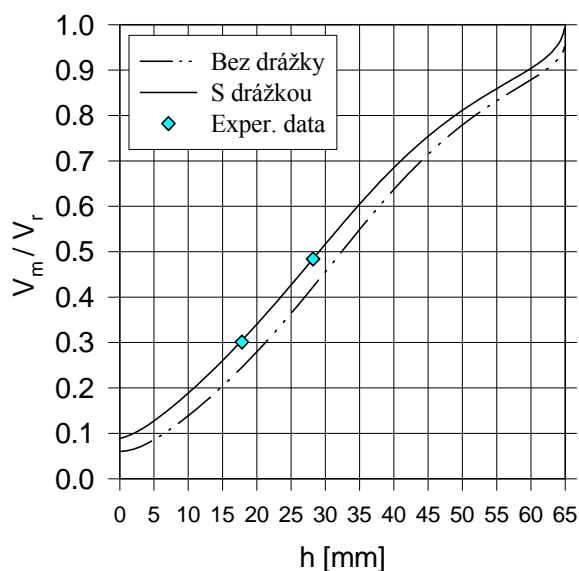
zkouškách za vysokých teplot mohou mít velkou intenzitu a snižují významně citlivost této metody. U AC metody se zase nepříznivě uplatňuje skin efekt. Příznivého kompromisu se dá dosáhnout v pulzním režimu. Takový charakter má i komutační metoda, se kterou pracuje

použitá aparatura TECHLAB SRT-6k, a která velmi účinně eliminuje nepříznivý vliv skin efektu, EMI a také termoelektrických napětí. Uspořádání elektronických obvodů je patrné z blokového schématu na obr. 6.

Elektrické potenciálové pole je ve sledovaném vzorku vytvořeno měřicím proudem I_M , který je přiveden přes **vstupní přepínač** na sledovaný vzorek ze **zdroje konstantního proudu** po průchodu **elektronickým komutátorem**. Na zkušebním vzorku jsou dále přivařeny dva páry měřicích elektrod M_1 a M_2 . Měřicí elektrody M_1 slouží pro sledování elektrického napětí U_m u ústí trhliny a elektrody M_2 slouží pro měření referenčního napětí U_r mezi danými body, viz obr. 5. Měřené napětí je přivedeno přes **přepínač měřených míst (PMM)** na vstup **předzesilovače** s ultra-nízkým šumem a po zesílení přivedeno k dalšímu zpracování speciálním **synchronním detektorem**. Výstupní signál synchronního detektoru je upraven **filtrem** s funkcí dolnofrekvenční propusti a přiveden v analogovém tvaru na výstupní svorky aparatury pro další zpracování (průměrování, archivace apod.). Součinnost jednotlivých obvodů (především komutátoru a synchronního detektoru zajišťuje **řídící jednotka a frekvenční generátor**.

Parametry a režim aparatury lze nastavit (i prostřednictvím PC) tak, aby bylo dosaženo co nej přesnějších výsledků. Volbou dostatečně nízké měřicí frekvence (F_1, F_2) lze účinně potlačit nepříznivý vliv skin efektu, neboť synchronní detektor je navržen tak, aby do vyhodnocení nebyla zahrnuta časová oblast (určitá část doby periody komutace) signálu s přechodovým dějem po komutaci proudu, který je způsoben právě skin efektem. Při dalším snižování měřicí frekvence se však začnou stále více uplatňovat nevýhody DC metody (vliv termoelektrických napětí a jejich změn). Nastavením opačné fáze synchronního detektoru (+, -) lze eliminovat DC drift vlastní aparatury (automatické nulování). Přepínáním měřicích míst (M_1, M_2) je možno vyhodnotit redukovaný potenciál V_m/V_r a tím eliminovat vliv proměnného měrného odporu při změně materiálu vzorku, ale i jeho závislost na teplotě, popřípadě i dlouhodobou nestabilitu zdroje měřicího proudu.

Experimentální redukované potenciály a délky trhliny v počátečním a konečném stavu jsou zakresleny v kalibračním diagramu na obr. 7. Byl vypočten pro aktuální konfiguraci pólů, pro porovnání jsou uvedeny křivky jak s drážkovou opravou, tak bez ní. Konečná pozice čela byla určena kvadraturou creepové lomové plochy. Obě přímo měřené délky trhliny odpovídají velmi dobře hodnotám, plynoucím z redukovaných potenciálů a kalibračního výpočtu (posledně jmenované jsou o 0.21 → 0.02 mm nižší). Stejně dobrou korespondenci lze ovšem očekávat i v průběhu testu, což dovoluje přesné a spojitě vyhodnocování vývoje délky trhliny.



Obr.7: Kalibrační diagram a experimentální body počátečního a konečného stavu.

4. Závěr

Na základě dosud provedených testů se zdá, že předkládané řešení nabízí kompaktní a dostatečně přesnou kalibraci potenciálových měření, a to i při relativně netypické konfiguraci pólů. Na rozdíl od méně realistických modelů, zmíněných v odst. 1, není třeba provádět žádné dodatečné fitování kalibračních křivek, založené např. na nezávisle určených délkách trhliny v počátečním a konečném stavu. Je tak vyloučeno nejen vnesení systematické chyby vinou přecenění takových dat, ale i možné zkreslení tvaru kalibračních závislostí. Je třeba ještě uvážit, že dodatečná měření mohou být z různých důvodů neproveditelná, takže spolehlivý monitoring trhlin je závislý na a priori přesné kalibraci. V našem případě to vede k praktickému požadavku, aby pozice pólů vstupovaly do výpočtu s odpovídající přesností, alespoň 0.1 mm. Aktualizace kalibračního diagramu pro jednotlivé vzorky však není problém.

5. Poděkování

Práce vznikla v rámci Výzkumného záměru 257 970 001, financovaného Ministerstvem školství, mládeže a tělovýchovy České republiky, a s podporou grantu GAČR 101/03/0731/ZČU/203/II.

6. Literatura

- Byrd, P. F. & Friedman, M. D. (1954) *Handbook of elliptic integrals for engineers and physicists*, Springer, Berlin.
- Gandossi L., Summers S. A., Taylor N. G., Hurst R. C., Hulm B. J. & Parker J. D. (2001) The potential drop method for monitoring crack growth in real components subjected to combined fatigue and creep conditions: application of FE techniques for deriving calibration curves. *International Journal of Pressure Vessels and Piping*, 78, 11-12, pp. 881-891
- Gradštejn, I. S. & Ryžik, I. M. (1971) *Tablicy integralov, summ, rjadov i proizvedenij*, Nauka, Moskva
- Johnson, H. H. (1965) Calibrating the Electric Potential Method for Studying Slow Crack Growth. *Materials Research & Standards*, 5, 9, pp. 442-445.